

Cherenkov like mechanism of surface wave excitation

V.S.Zuev, A.M.Leontovich, and V.V.Lidsky

The P.N.Lebedev Physical Institute of RAS
119991 Moscow, Russia
vizuev@sci.lebedev.ru
leon@sci.lebedev.ru
vlidsky@mail.ru

The theory is presented of surface wave excitation by a fast moving charged particle in a thin uniform metal film surrounded by a dielectric medium. It is shown that the Vavilov-Cherenkov like effect for the surface waves could arise for particles whose velocities are ten- and even hundred-times lower than the corresponding velocities in a uniform medium.

Черенковский механизм возбуждения поверхностных волн

В.С.Зуев, А.М.Леонтович, В.В.Лидский

Физический ин-т им. П.Н.Лебедева РАН
119991 Москва
vizuev@sci.lebedev.ru
leon@sci.lebedev.ru
vlidsky@mail.ru

Предложена теория возбуждения поверхностных волн в тонкой однородной пленке металла, окруженной диэлектрической средой, при движении внутри пленки быстрой заряженной частицы. Показано, что эффект Вавилова-Черенкова для поверхностных волн возникает при скоростях частицы в десятки и сотни раз меньших, чем соответствующие скорости в однородной среде.

Черенковский механизм возбуждения поверхностных волн

В.С.Зуев, А.М.Леонтович, В.В.Лидский

Физический ин-т им. П.Н.Лебедева РАН

119991 Москва

vizuev@sci.lebedev.ru

leon@sci.lebedev.ru

vlidsky@mail.ru

1. Явление Вавилова-Черенкова – излучение света при движении быстрого электрона в среде наблюдают как в однородных средах /1,2/, так и в неоднородных средах, в таких, как фотонные кристаллы /3/. Условием возникновения этого излучения является наличие в пространстве (однородном или неоднородном) собственных электромагнитных волн с фазовой скоростью меньше, чем скорость пролетающего электрона.

Собственные волны с малой фазовой скоростью имеются в нанопленках и в нанонитях из серебра, золота, меди. Это так называемые поверхностные плазмон-поляритоны. Отличие фазовой скорости этих волн от скорости света в вакууме может составлять многие десятки и сотни раз. Это означает, что испускать излучение в виде плазмона может электрон, сравнительно медленный по сравнению с электроном, способным излучать в однородной среде /4/.

Неоднородное пространство с тонкой металлической пленкой имеет в качестве собственных волн симметричный и антисимметричный поверхностные плазмоны без продольной составляющей магнитного поля, так называемые *TM* - плазмоны, плазмоны поперечно-магнитного типа с магнитным полем в плоскости пленки. Симметрию плазмонов мы определяем по виду магнитного поля. При заданном значении волнового числа частота симметричного плазмона выше частоты антисимметричного плазмона. Поле плазмонов локализовано на пленке, а на удалении от пленки экспоненциально мало. Таких волн в однородном пространстве нет.

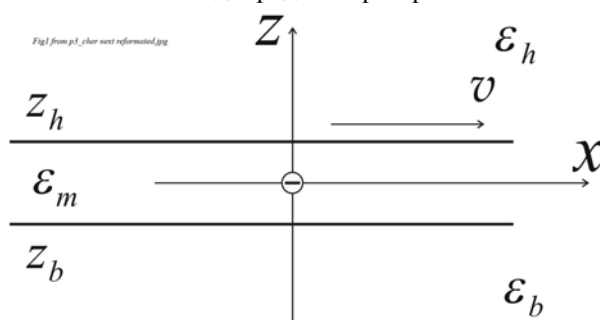


Рис. 1.

2. Введем декартову систему координат, так чтобы частица двигалась вдоль оси x . Оси x и y лежат в плоскости пленки, ось z направим перпендикулярно плоскости пленки, см. рис. 1. Ток, создаваемый точечной частицей, движущейся со скоростью v вдоль оси x , и плотность заряда описываются следующими формулами:

$$j_x = ev\delta(x-vt)\delta(y)\delta(z), \quad \rho = e\delta(x-vt)\delta(y)\delta(z). \quad (2.1)$$

Решение уравнений Максвелла будем искать с помощью разложения полей на компоненты Фурье:

$$\vec{E} = \int_{-\infty}^{\infty} \vec{E}_\omega e^{-i\omega t} d\omega. \quad (2.2)$$

Уравнения Максвелла для компоненты некоторой частоты ω принимают вид:

$$\begin{aligned} \text{rot} \vec{H}_\omega &= -\epsilon i \omega \vec{E}_\omega + \vec{v} \frac{2e}{v} \exp\left(i \frac{\omega x}{v}\right) \delta(y) \delta(z), \\ \text{rot} \vec{E}_\omega &= i \omega \vec{H}_\omega, \\ \epsilon \text{div} \vec{E}_\omega &= \frac{2e}{v} \exp\left(i \frac{\omega x}{v}\right) \delta(y) \delta(z). \end{aligned} \quad (2.3)$$

Четвертое из уравнений Максвелла мы опустили, так как в данном случае оно автоматически вытекает из второго. Все компоненты поля зависят от координаты x только благодаря фазовому множителю $\exp\left(i \frac{\omega x}{v}\right)$.

Прделаем теперь преобразование Фурье по волновым числам k_y :

$$\vec{E}_\omega = \exp(ik_x x) \int_{-\infty}^{\infty} \vec{E}_{\omega k_y} \exp(ik_y y) dk_y. \quad (2.4)$$

В (2.4) мы ввели обозначение

$$k_x = \frac{\omega}{v} \quad (2.5)$$

Для компонент полей $\vec{E}_{\omega k_y}, \vec{H}_{\omega k_y}$ из уравнений (2.3) получим следующую систему уравнений:

$$ik_y H_z - \partial_z H_y = -\varepsilon i \omega E_x + \frac{e}{\pi} \delta(z), \quad (2.6)$$

$$\partial_z H_x - ik_x H_z = -\varepsilon i \omega E_y, \quad (2.7)$$

$$ik_x H_y - ik_y H_x = -\varepsilon i \omega E_z, \quad (2.8)$$

$$ik_y E_z - \partial_z E_y = i \omega H_x, \quad (2.9)$$

$$\partial_z E_x - ik_x E_z = i \omega H_y, \quad (2.10)$$

$$ik_x E_y - ik_y E_x = i \omega H_z. \quad (2.11)$$

Для упрощения записи мы опустили у всех компонент индексы ωk_y , указывающие по каким переменным сделано преобразование Фурье. Все величины в системе (2.6)-(2.11) зависят только от координаты z . Третье из уравнений (2.3) принимает вид:

$$\varepsilon (ik_x E_x + ik_y E_y + \partial_z E_z) = \frac{e}{\pi v} \delta(z). \quad (2.12)$$

Несложно показать, что (2.12) является следствием уравнений (2.6)-(2.8).

3. Покажем, что система уравнений (2.6)-(2.11) распадается на две независимые системы уравнений. Введем в плоскости пленки новые координаты ξ, η так, чтобы ось ξ совпадала с направлением вектора (k_x, k_y) , а ось η направим в плоскости пленки в перпендикулярном к оси ξ направлении, при этом третья ось, ось z , (обозначение которой мы не меняем) сохраняет свое направление. Для компонент векторов напряженностей находим:

$$H_\xi = \frac{1}{k} (k_x H_x + k_y H_y) \quad H_\eta = \frac{1}{k} (-k_y H_x + k_x H_y) \quad (3.1)$$

$$E_\xi = \frac{1}{k} (k_x E_x + k_y E_y) \quad E_\eta = \frac{1}{k} (-k_y E_x + k_x E_y) \quad (3.2)$$

где через k обозначено выражение

$$k = \sqrt{k_x^2 + k_y^2}. \quad (3.3)$$

После такой замены неизвестных система (2.6)-(2.11) превращается в систему шести уравнений, которая распадается на две независимые тройки уравнений. Первая тройка уравнений:

$$\begin{cases} -\partial_z H_\eta + \varepsilon i \omega E_\xi = \frac{e}{\pi} \frac{k_x}{k} \delta(z) \\ k \cdot H_\eta + \varepsilon \omega E_z = 0 \\ \partial_z E_\xi - ik \cdot E_z - i \omega H_\eta = 0 \end{cases}. \quad (3.4)$$

Вторая тройка:

$$\begin{cases} \partial_z H_\xi - ik \cdot H_z + \varepsilon i \omega E_\eta = -\frac{e}{\pi} \frac{k_y}{k} \delta(z) \\ \partial_z E_\eta + i \omega H_\xi = 0 \\ k \cdot E_\eta - \omega H_z = 0 \end{cases}. \quad (3.5)$$

4. Рассмотрим последовательно системы уравнений (3.4), (3.5). Система уравнений (3.4) позволяет вычислить компоненты поля H_η, E_ξ, E_z . Три оставшиеся компоненты H_ξ, H_z, E_η вычисляются совершенно независимо из системы уравнений (3.5). Для удобства нашего изложения мы сначала исследуем только решения системы (3.4) и определим компоненты H_η, E_ξ, E_z , а затем найдем оставшиеся компоненты полей из (3.5).

Исключив E_z из второго и третьего уравнений (3.4), найдем:

$$H_\eta = \frac{\varepsilon i \omega}{k^2 - \varepsilon \omega^2} \partial_z E_\xi. \quad (4.1)$$

Подставив найденное H_η в первое из уравнений (3.4), найдем:

$$\partial_z^2 E_\xi - (k^2 - \varepsilon \omega^2) E_\xi = -\frac{e k_x}{\pi k} \frac{k^2 - \varepsilon \omega^2}{\varepsilon i \omega} \delta(z). \quad (4.2)$$

Это уравнение выполнено как внутри пленки, так и вне ее, причем для поля внутри под ε следует понимать ε_m — диэлектрическую проницаемость металла, а для поля выше и ниже пленки — соответственно ε_h и ε_b .

Введем обозначения:

$$p = \sqrt{k^2 - \varepsilon_m \omega^2}, \quad q_h = \sqrt{k^2 - \varepsilon_h \omega^2}, \quad q_b = \sqrt{k^2 - \varepsilon_b \omega^2}. \quad (4.3)$$

Для полей в пленке и вне пленки получим уравнения:

$$\partial_z^2 E_\xi^{(m)} - p^2 E_\xi^{(m)} = -\frac{e k_x}{\pi k} \frac{p^2}{\varepsilon_m i \omega} \delta(z), \quad (4.4)$$

$$\partial_z^2 E_\xi^{(h)} - q_h^2 E_\xi^{(h)} = 0, \quad (4.5)$$

$$\partial_z^2 E_\xi^{(b)} - q_b^2 E_\xi^{(b)} = 0. \quad (4.6)$$

5. Поскольку мы предполагаем $\varepsilon_m < 0$, ясно что значение p (см. (4.3)) вещественно (мы временно не рассматриваем малую мнимую часть p , связанную с конечной проводимостью металла). Величины же q_h, q_b могут быть как вещественны, так и мнимы. Сопоставляя (2.5), (3.3) и (4.3) мы видим, что рассматриваемое явление существенно зависит от соотношений между скоростью частицы и диэлектрической проницаемостью окружающей пленку среды.

Остановимся кратко на случае, когда скорость частицы превосходит величину фазовой скорости света в среде: $v > c/\sqrt{\varepsilon_h}$ (где c — скорость света в вакууме). При малых значениях k_y , величина q_h окажется чисто мнимой, следовательно решения уравнения (4.5) представляют собой осциллирующие функции z , что соответствует излучению электромагнитных волн в окружающее пленку пространство. Это классический случай черенковского излучения, теория которого предложена в /5/. В этом случае мнимую часть q_h естественно обозначить k_z , так что $q_h = i k_z$. Излучение Вавилова-Черенкова сосредоточено на поверхности конуса, причем волновой вектор возникающих волн оказывается равным $\vec{k} = \{k_x, k_y, k_z\}$. Источником излучения является в нашем случае поле на поверхности пленки, индуцированное движущейся внутри металла частицей.

Картина качественно меняется в случае, когда скорость частицы меньше скорости света в среде: $v < c/\sqrt{\varepsilon_h}$. В этом случае классическое черенковское излучение отсутствует /5/, однако становится возможным излучение поверхностных волн. Поверхностная волна распространяется строго по поверхности пленки, в связи с чем ее волновой вектор принимает вид $\vec{k} = \{k_x, k_y, 0\}$.

6. Итак, в дальнейшем мы будем предполагать $v < c/\sqrt{\varepsilon_h}$. Общее решение уравнения (4.4) является суммой частного решения неоднородного уравнения и общего решения однородного. Частное решение находим методом вариации произвольной постоянной и добавляем общее решение, зависящее от двух постоянных:

$$E_\xi^{(m)} = \frac{e k_x}{2\pi k} \frac{p}{\varepsilon_m i \omega} \left[\theta(z) e^{-pz} + (1 - \theta(z)) e^{pz} \right] + C_1 e^{pz} + C_2 e^{-pz}. \quad (6.1)$$

Здесь $\theta(z)$ — функция Хевисайда. Решение уравнений (4.5) и (4.6) найдем из условия убывания поля на бесконечности:

$$E_{\xi}^{(h)} = C_3 \exp(-q_h z), \quad (6.2)$$

$$E_{\xi}^{(b)} = C_4 \exp(q_b z). \quad (6.3)$$

Здесь C_1, C_2, C_3, C_4 — константы, которые должны быть определены из граничных условий. Применив уравнение (4.1) ко всем трем средам найдем компоненты полей H_{η} :

$$H_{\eta}^{(m)} = \frac{e}{2\pi} \frac{k_x}{k} \left[-\theta(z) e^{-pz} + (1-\theta(z)) e^{pz} \right] + \frac{\varepsilon_m i \omega}{p} \left[C_1 e^{pz} - C_2 e^{-pz} \right], \quad (6.4)$$

$$H_{\eta}^{(h)} = -\frac{\varepsilon_h i \omega}{q_h} C_3 \exp(-q_h z), \quad (6.5)$$

$$H_{\eta}^{(b)} = \frac{\varepsilon_b i \omega}{q_b} C_4 \exp(q_b z). \quad (6.6)$$

7. Граничные условия требуют непрерывности тангенциальных компонент H_{η} и E_{ξ} на поверхностях $z = z_h$ и $z = z_b$. Учитывая, что $z_h > 0$ и $z_b < 0$, находим:

$$\frac{e}{2\pi} \frac{k_x}{k} \frac{p}{\varepsilon_m i \omega} \exp(-pz_h) + C_1 \exp(pz_h) + C_2 \exp(-pz_h) = C_3 \exp(-q_h z_h) \quad (7.1)$$

$$\frac{e}{2\pi} \frac{k_x}{k} \exp(-pz_h) - \frac{\varepsilon_m i \omega}{p} \left[C_1 \exp(pz_h) - C_2 \exp(-pz_h) \right] = \frac{\varepsilon_h i \omega}{q_h} C_3 \exp(-q_h z_h) \quad (7.2)$$

$$\frac{e}{2\pi} \frac{k_x}{k} \frac{p}{\varepsilon_m i \omega} \exp(pz_b) + C_1 \exp(pz_b) + C_2 \exp(-pz_b) = C_4 \exp(q_b z_b) \quad (7.3)$$

$$-\frac{e}{2\pi} \frac{k_x}{k} \exp(pz_b) - \frac{\varepsilon_m i \omega}{p} \left[C_1 \exp(pz_b) - C_2 \exp(-pz_b) \right] = -\frac{\varepsilon_b i \omega}{q_b} C_4 \exp(q_b z_b) \quad (7.4)$$

Выражения (7.1-4) могут быть переписаны как система линейных уравнений с правой частью относительно четырех неизвестных констант C_1, C_2, C_3, C_4 . Решение этой системы приводит к выражениям:

$$C_1 = \frac{e}{2\pi} \frac{k_x}{k} \frac{p}{i \omega \varepsilon_m} \frac{Q_b \exp(-2pz_b) + 1}{Q_b Q_h \exp(2pd) - 1}, \quad (7.5)$$

$$C_2 = \frac{e}{2\pi} \frac{k_x}{k} \frac{p}{i \omega \varepsilon_m} \frac{Q_h \exp(2pz_h) + 1}{Q_b Q_h \exp(2pd) - 1}, \quad (7.6)$$

где $d = z_h - z_b$ — толщина пленки, а через Q_h, Q_b обозначены следующие выражения:

$$Q_h = \frac{\varepsilon_m q_h + \varepsilon_h p}{\varepsilon_m q_h - \varepsilon_h p} \quad Q_b = \frac{\varepsilon_m q_b + \varepsilon_b p}{\varepsilon_m q_b - \varepsilon_b p} \quad (7.7)$$

Теперь мы можем вычислить компоненты Фурье составляющей напряженности $E_{z, \omega k_y}^{(h)}$ и $E_{z, \omega k_y}^{(b)}$ на поверхностях пленки. Используя (6.4) и второе из уравнений (3.4), после упрощений находим:

$$E_{z, \omega k_y}^{(h)}(z_h) = \frac{e}{2\pi} \frac{k_x}{\varepsilon_h \omega} \frac{Q_b \exp(-2pz_b) + 1}{Q_b Q_h \exp(2pd) - 1} (Q_h - 1) \exp(pz_h) \quad (7.8)$$

$$E_{z, \omega k_y}^{(b)}(z_b) = -\frac{e}{2\pi} \frac{k_x}{\varepsilon_b \omega} \frac{Q_h \exp(2pz_h) + 1}{Q_b Q_h \exp(2pd) - 1} (Q_b - 1) \exp(-pz_b) \quad (7.9)$$

В формулах (7.8) и (7.9) мы восстановили опущенные ранее индексы ωk_y , указывающие по каким переменным сделано преобразование Фурье. Теперь мы можем определить зависимость от времени и пространственных координат

составляющей электрического поля $E_z(x, y, z, t)$ на поверхности пленки, то есть при $z = z_h$. Для этого надо подставить разложение (2.4) в (2.2) и выполнить интегрирование:

$$E_z(x, y, z, t) = \int_{-\infty}^{\infty} dk_y \int_{-\infty}^{\infty} d\omega \cdot E_{z, \omega k_y} \cdot \exp\left(i \frac{\omega}{v} x - i \omega t\right) \cdot \exp(i k_y y). \quad (7.10)$$

8. Вполне аналогично тому, как были определены компоненты $E_{z, \omega k_y}$ на поверхностях пленки из системы уравнений (3.4), уравнения (3.5) позволяют определить компоненты $H_{z, \omega k_y}$. Мы не станем загромождать текст вычислениями и выпишем сразу окончательный ответ:

$$H_{z, \omega k_y}^{(h)}(z_h) = -i \frac{e}{\pi} \frac{k_y}{p - q_h} \cdot \frac{\exp(-2pz_b) \cdot \Omega_b + 1}{\exp(2pd) \cdot \Omega_h \cdot \Omega_b - 1} \cdot \exp(pz_h) \quad (8.1)$$

$$H_{z, \omega k_y}^{(b)}(z_b) = -i \frac{e}{\pi} \frac{k_y}{p - q_b} \cdot \frac{\exp(2pz_h) \cdot \Omega_h + 1}{\exp(2pd) \cdot \Omega_h \cdot \Omega_b - 1} \exp(-pz_b) \quad (8.2)$$

где через Ω_h, Ω_b обозначены следующие выражения:

$$\Omega_h = \frac{q_h + p}{q_h - p} \quad \Omega_b = \frac{q_b + p}{q_b - p} \quad (8.3)$$

9. Ниже приведены спектры, построенные по формуле (7.8). На рис.2а-б по горизонтальным осям отложены величины k_x, k_y в обратных нанометрах. Частота волны связана с волновым числом соотношением $\omega = k_x \cdot v$. По вертикальной оси – компонента E_z электрического поля на поверхности пленки $z = z_h$ вне пленки. Диэлектрическая проницаемость пленки металла вычисляется по формуле $\varepsilon_m(\omega) = 1 - \omega_{pl}^2 / \omega^2 + 0.3i$, причем плазменная частота выбрана соответствующей длине волны в вакууме $\lambda = 150 \text{ nm}$. Диэлектрическая проницаемость пространства вне пленки $\varepsilon_b = \varepsilon_h = 1$. Скорость частицы выбрана $v = 0.22c$. Это на одну двадцатую превышает скорость резонансного плазмона на частоте, соответствующей длине волны в вакууме $\lambda = 800 \text{ nm}$. Толщина пленки металла составляет $d = 2 \text{ nm}$. Предполагалось, что частица движется вдоль поверхности $z = z_h$, то есть в (7.8) положено $z_h = 0, z_b = -d$.

На рис. 3а-б при тех же значениях параметров построен спектральные компоненты поля H_z . Мы видим, что амплитуды поля H_z почти на три порядка меньше соответствующих амплитуд поля E_z . Физическая причина этого факта ясна. Как несложно показать, среди собственных волн тонкой пленки находятся только волны моды ТМ, в которых $H_z = 0$. Собственных волн с отличной от нуля H_z в пленке нет. Мы видим, что поле H_z имеет иную природу, чем поле E_z . Это не распространяющаяся по пленке волна, а поле индуцируемое током частицы. Таким образом, практически вся теряемая частицей энергия переходит в излучение волн ТМ моды.

Зависимость от пространственных координат x, y составляющей напряженности электрического поля $E_z(x, y, z_h)$ на поверхности пленки была определена по формуле (7.10) численным интегрированием. Результаты численного расчета представлены на рис. 4а-б. Вычисления проводились при тех же значениях параметров среды и скорости частицы. При вычислении интегралов в (7.10) было выбрано значение $t = 0$. Частица находится в момент наблюдения в точке $x = 0, y = 0$. По осям отложены пространственные координаты в нанометрах. Мы видим, что излучение заполняет треугольник, являющийся двумерным аналогом трехмерного конуса из классического явления Вавилова-Черенкова.

10. Подведем итог.

Электрон, движущийся в тонкой пленке порождает поверхностные волны, причем механизм возбуждения поверхностных волн аналогичен механизму черенковского излучения. Возникает двумерный эффект Вавилова-Черенкова.

В отличие от электрона в однородной среде, рассматриваемый эффект могут порождать электроны, скорость которых в десятки и сотни раз меньше соответствующей скорости в однородной среде.

Возникающее излучение заполняет треугольник, являющийся двумерным аналогом черенковского конуса. Причем в отличие от классического эффекта Вавилова-Черенкова излучение не сосредоточено у поверхности конуса, а заполняет все пространство внутри треугольника. Естественно предположить, что эта особенность связана с сильной зависимостью от частоты диэлектрической проницаемости металла, в связи с чем возникает существенная зависимость от частоты фазовой скорости поверхностных волн.

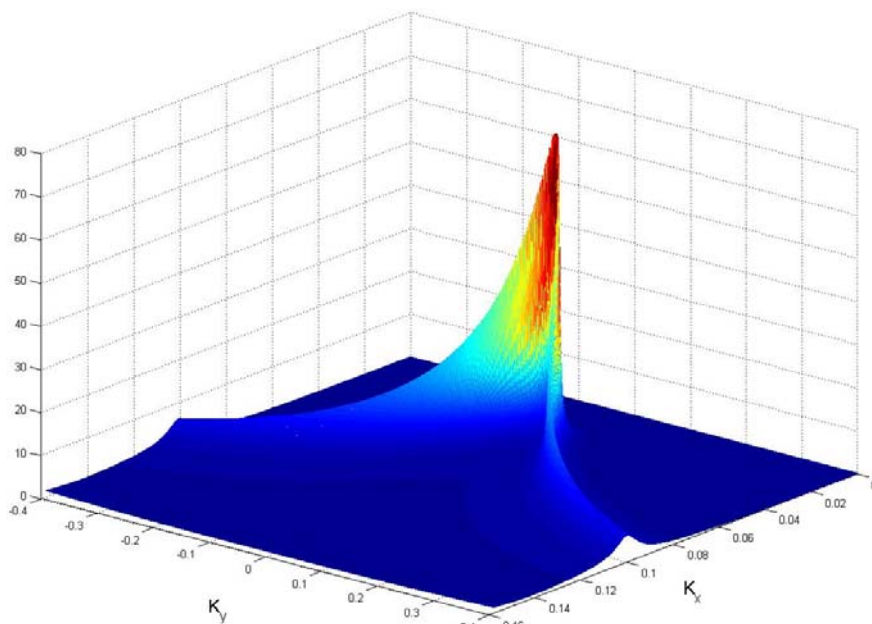


Рис. 2а. Спектр волн, возбуждаемых частицей, движущейся в пленке металла.

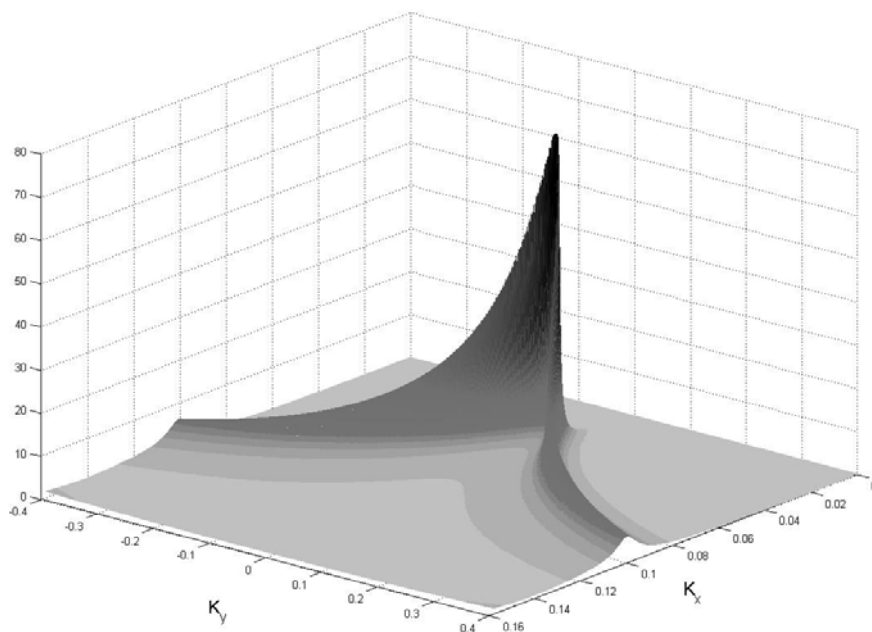


Рис. 2б. Спектр волн, возбуждаемых частицей, движущейся в пленке металла. Пояснения к графикам и параметры пленки помещены в тексте.

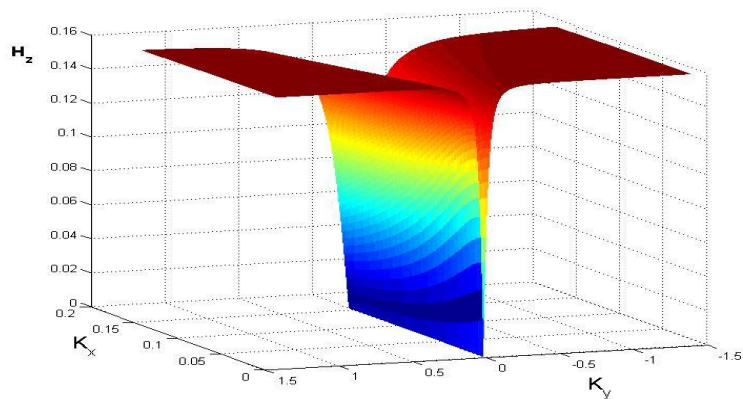


Рис. 3а.

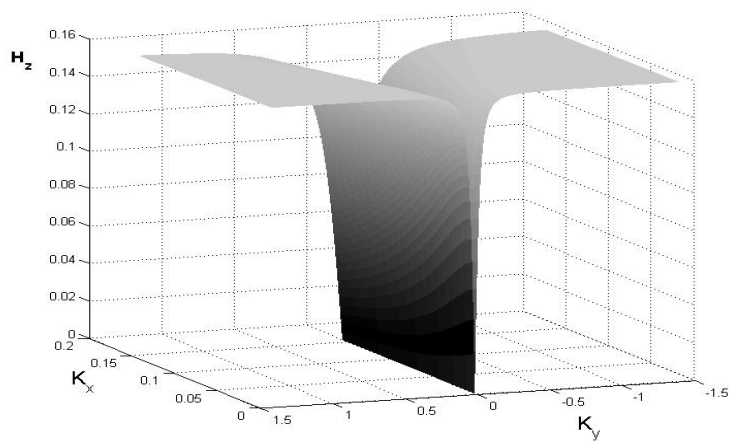


Рис. 3б. Зависимость от k_x, k_y спектральной компоненты поля H_z . Параметры пленки, и единицы измерения напряженности такие же, как и при построении рис. 2.

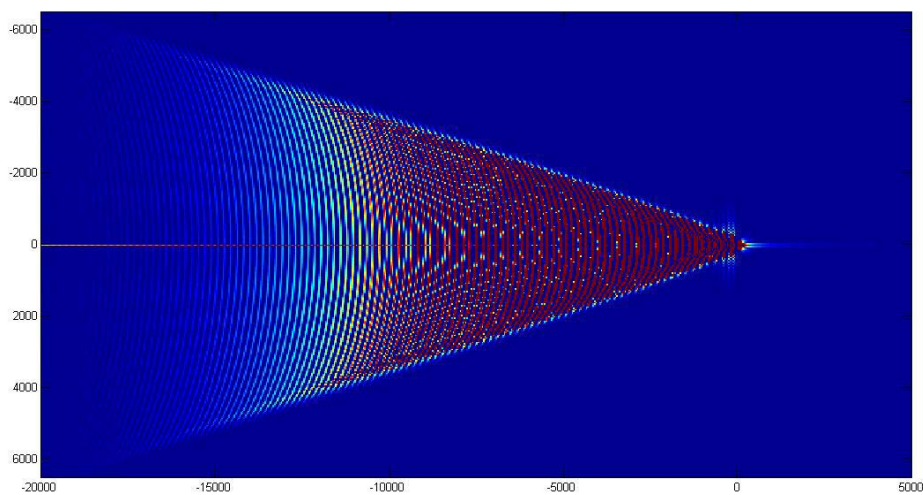


Рис. 4б

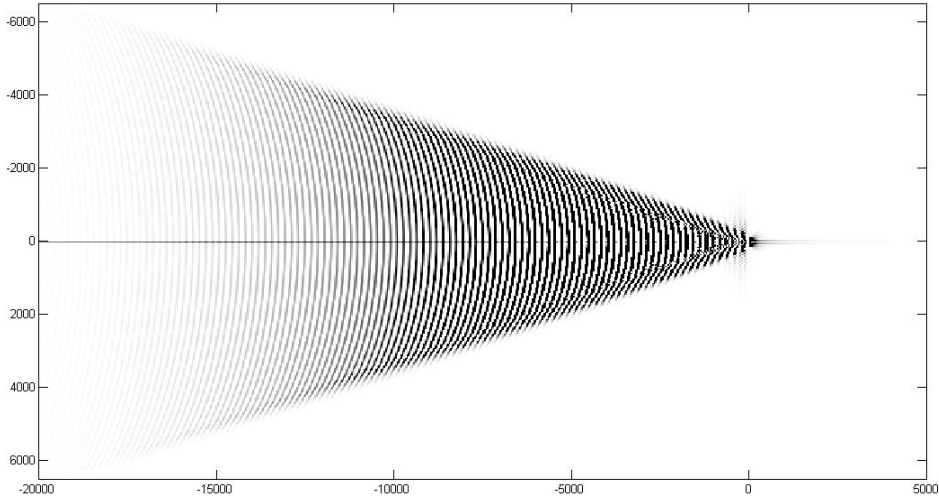


Рис. 4б. Зависимость от пространственных координат компоненты напряженности $E_z^{(h)}$ вблизи поверхности пленки. Частица движется вправо вдоль оси x , причем в момент наблюдения находится в точке $x = 0$. По осям отложены координаты в нанометрах. Параметры пленки приняты те же, что и при построении рис. 2.

1. П.А.Черенков. Труды ФИАН, т. 2, вып 4, стр 3-62 (1944)
2. Л.Д.Ландау, Е.М.Лифшиц. Электродинамика сплошных сред. Москва, Наука, 1982
3. С.Luo, M.Ibanescu, S.G.Johnson, J.D.Joannopoulos. Science, v.299, pp.368-371 (2003)
4. V.S.Zuev. Vavilov-Cerenkov phenomenon in metal nanofilms. arXiv:0907.1145 07 July 2009. В.С.Зуев. Оптика и спектроскопия, рег. №24709 от 22 июля 2009 г.
5. И.Е.Тамм, И.М.Франк, ДАН т.XIV(3),107-112(1937)

Приложения.

1. Если положить $\vec{H}_\omega, \vec{E}_\omega \sim \exp(i\omega x/v)$, то оказывается, что такое решение имеется у системы уравнений (2.3).

Разложим поля $\vec{H}_\omega, \vec{E}_\omega$ по пространственным гармоникам вида $\vec{E}_\omega = \int_{-\infty}^{\infty} \vec{E}_{\omega p} \exp(ipx) dp$ и подставим это

выражение в уравнение. Тогда окажется, что для всех значений p , отличных от ω/v получим однородную систему уравнений относительно $\vec{E}_{\omega p}$. И лишь для $p = \omega/v$ получим уравнения с правой частью. Физически это означает, что решения с другими p существовать могут, но они не имеют никакого отношения к рассматриваемой частице — их возбуждают какие-то другие источники.

2. О разложении δ -функции. Предположим $\delta(x - vt) = \int_{-\infty}^{\infty} X_\omega e^{-i\omega x} d\omega$. Найдем X_ω . Умножим обе части на

$\exp(i\omega' t)$ и проинтегрируем по dt по отрезку $[-T, T]$.

$$\int_{-T}^T \exp(i\omega' t) \delta(x - vt) \cdot dt = \int_{-\infty}^{\infty} X_\omega \int_{-T}^T \exp(i(\omega' - \omega)t) dt d\omega.$$

Вычисляем интегралы по dt :

$$\frac{1}{v} \exp\left(i \frac{\omega'}{v} x\right) = \int_{-\infty}^{\infty} X_\omega d\omega \frac{\exp(i(\omega' - \omega)T) - \exp(-i(\omega' - \omega)T)}{i(\omega' - \omega)}$$

или

$$\frac{1}{v} \exp\left(i \frac{\omega'}{v} x\right) = \int_{-\infty}^{\infty} X_{\omega} d\omega \frac{2 \sin((\omega - \omega')T)}{(\omega - \omega')}$$

В интеграле в правой части делаем замену $\xi = (\omega - \omega')T$

$$\frac{1}{v} \exp\left(i \frac{\omega'}{v} x\right) = \int_{-\infty}^{\infty} X\left(\omega' + \frac{\xi}{T}\right) d\xi \frac{2 \sin \xi}{\xi}$$

Это справедливо при любом T . Возьмем $T \rightarrow \infty$. Тогда ясно, что

$$\frac{1}{v} \exp\left(i \frac{\omega'}{v} x\right) = 2X(\omega') \int_{-\infty}^{\infty} d\xi \frac{\sin \xi}{\xi}$$

Оставшийся интеграл вычислим с помощью ТФКП. Подынтегральная функция регулярна в нуле, поэтому мы можем сместить контур несколько вниз и перейти от синуса к экспоненте:

$$\int_{-\infty}^{\infty} d\xi \frac{\sin \xi}{\xi} = \int_{-\infty-i\epsilon}^{\infty-i\epsilon} d\xi \frac{\sin \xi}{\xi} = \int_{-\infty-i\epsilon}^{\infty-i\epsilon} d\xi \frac{\exp(i\xi) - \exp(-i\xi)}{2i\xi} = \int_{-\infty-i\epsilon}^{\infty-i\epsilon} d\xi \frac{\exp(i\xi)}{2i\xi} - \int_{-\infty-i\epsilon}^{\infty-i\epsilon} d\xi \frac{\exp(-i\xi)}{2i\xi}$$

В первом из интегралов добавим путь по большому по модулю ξ в верхней полуплоскости, замыкая путь от $+\infty$ к $-\infty$. А во втором интеграле замкнем контур в нижней полуплоскости. Первый интеграл содержит полюс $\xi = 0$ внутри контура интегрирования, а второй — не содержит. По теореме о вычетах

$$\int_{-\infty-i\epsilon}^{\infty-i\epsilon} d\xi \frac{\exp(i\xi)}{2i\xi} = \frac{2\pi i}{2i} = \pi; \quad \int_{-\infty-i\epsilon}^{\infty-i\epsilon} d\xi \frac{\exp(-i\xi)}{2i\xi} = 0$$

Таким образом

$$\int_{-\infty}^{\infty} d\xi \frac{\sin \xi}{\xi} = \pi, \quad X(\omega') = \frac{1}{2\pi v} \exp\left(i \frac{\omega'}{v} x\right),$$

а значит

$$\delta(x - vt) = (1/2\pi v) \int_{-\infty}^{\infty} \exp(iax/v) \exp(-i\omega t) d\omega.$$